

РАСПРЕДЕЛЕНИЕ НАГРУЗКИ В ИНТЕЛЛЕКТУАЛЬНОЙ СЕТИ

В последние годы возможность быстрого развития комплексных телекоммуникационных услуг приобретает на телекоммуникационном рынке все большую значимость. В телефонных сетях эта тенденция проявляется во внедрении различных дополнительных услуг, таких как бесплатный вызов, вызов с повышенной оплатой, вызов по предоплаченной или кредитной карте, телеголосование, виртуальная частная сеть и др. Для оперативного развертывания новых услуг при максимальном эффективном использовании существующей инфраструктуры сетей общего пользования была разработана архитектурная концепция интеллектуальной сети (Intelligent Network – IN) [1-3]. Однако внедрение IN порождает определенные трудности: ключевым аспектом в обеспечении качества обслуживания в силу специфики предоставляемых данной сетью услуг является наличие в интеллектуальной сети эффективных механизмов управления нагрузкой.

Существующие методы управления нагрузкой можно подразделить на методы:

- управления трафиком на входе в сеть, к которым относятся механизмы формирования (traffic conditioning), выравнивания (профилирования) (traffic shaping) и ограничения трафика (traffic policing), такие как «дырявое ведро» (Leaky Bucket) и «корзина маркеров» (Token Bucket);

- управления нагрузкой внутри сети (т.е. управление пропускной способностью сети и распределение сетевых ресурсов), к которым относятся механизм окна, а также различные способы формирования очередей, например взвешенная честная очередь – WFQ (Weighted Fair Queue), CBWFQ/CBQ (Class Based WFQ);

- борьбы с перегрузкой, которые можно подразделить на превентивные методы, позволяющие выявить перегрузку еще до ее возникновения и предотвратить ее появление, и методы устранения уже возникшей перегрузки. К данным методам относятся такие механизмы, как явное уведомление о перегрузке, механизм RED (Random Early Detection) и др.

Цель данной работы – решение задачи распределения ресурсов интеллектуальной сети и разработка метода распределения нагрузки между ее узлами. Исходными данными при решении поставленной задачи являются: предполагаемая входящая нагрузка, созданная на интеллектуальную сеть со стороны АТС ТФОП, количество и производительность узлов IN, расстояния между АТС и узлами IN. Необходимо определить топологию сети и распределение нагрузки по ее узлам в случае построения централизованной, распределенной и частично распределенной платформы IN.

Для учета специфики архитектуры интеллектуальной сети и возникающих между ее узлами служебных информационных потоков при решении поставленной задачи воспользуемся графом,

отображающим интенсивность потоков между различными сетевыми функциями IN (рис. 1).

Заявки на услуги IN от АТС ТФОП поступают на сетевые элементы IN, выполняющие функцию коммутации услуг (SSF), что, в свою очередь, создает нагрузку на узлы, выполняющие функции управления и поддержки данных услуг (SCF/SDF), а также узлы с функцией специализированных ресурсов (SRF). Последние также создают дополнительную нагрузку на узлы с функциями SCF/SDF. Весовые коэффициенты, показывающие среднее число запросов к данным узлам, вызванное поступлением из ТФОП одной заявки на услугу IN $X = 1$, обозначены Y , Z

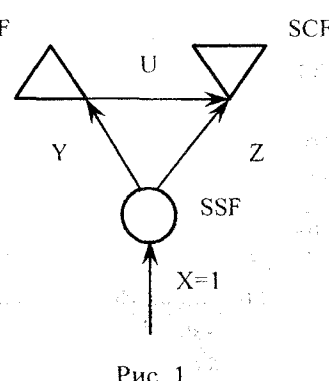


Рис. 1

и U , и зависят от специфики предоставляемой услуги. Чем сложнее логика услуги, тем большие объемы служебной информации, требуемой для обработки запроса на нее и тем выше нагрузка на узлы интеллектуальной сети, т.е. интенсивность поступающих на них запросов. Соотношение

между величинами Y , Z и U также зависит от глобальной логики услуги: так, логика услуг АСС и ССС предполагает несколько обращений к ресурсам SRF для проигрывания пользователем сообщений-подсказок, в то время как услуги VOT и PRM могут не содержать соответствующих компонентов.

Для обозначения интенсивностей информационных потоков между узлами сети введем следующие переменные:

- x_{ij} – интенсивность потока между i -й АТС и j -м узлом IN, выполняющим функцию SSF;
- y_{ij} – интенсивность потока между i -м узлом IN с функцией SSF и j -м узлом IN, выполняющим функцию SRF;
- z_{ij} – интенсивность потока между i -м узлом IN с функцией SSF и j -м узлом IN, выполняющим функцию SCF;
- u_{ij} – интенсивность потока между i -м узлом IN с функцией SRF и j -м узлом IN, выполняющим функцию SCF;
- λ_i – интенсивность поступления на i -ю АТС заявок на услуги IN.

Тогда задачу распределения нагрузки между сетевыми элементами IN можно сформулировать как некую оптимизационную задачу, в которой в качестве целевой может быть взята следующая функция:

$$c = \sum_{i,j} L_{ij} \cdot x_{ij} + \sum_{i,j} L_{ij}^{SSF-SRF} \cdot y_{ij} + \sum_{i,j} L_{ij}^{SSF-SCF} \cdot z_{ij} + \sum_{i,j} L_{ij}^{SRF-SCF} \cdot u_{ij} \rightarrow \min, \quad (1)$$

где L_{ij} – расстояния между i -й АТС и j -м узлом IN, выполняющим функцию SSF; $L_{ij}^{SSF-SRF}$ – расстояния между i -м узлом IN, выполняющим функцию SSF и j -м узлом IN, выполняющим функцию SRF; $L_{ij}^{SSF-SCF}$ – расстояния между i -м узлом IN, выполняющим функцию SSF и j -м узлом IN, выполняющим функцию SCF; $L_{ij}^{SRF-SCF}$ – расстояния между i -м узлом IN, выполняющим функцию SRF и j -м узлом IN, выполняющим функцию SCF.

В качестве ограничений выступают следующие соотношения:

$$x_{ij} \geq 0, \text{ для всех } i, j \quad (2)$$

$$y_{ij} \geq 0, \text{ для всех } i, j \quad (3)$$

$$z_{ij} \geq 0, \text{ для всех } i, j \quad (4)$$

$$u_{ij} \geq 0, \text{ для всех } i, j \quad (5)$$

$$\sum_j x_{ij} = \lambda_i, \text{ для всех } i \quad (6)$$

$$\frac{Y}{U} \sum_j u_{ij} = \sum_k y_{ki}, \text{ для всех } i \quad (7)$$

$$\sum_j y_{ij} = Y \sum_k x_{ki}, \text{ для всех } i \quad (8)$$

$$\sum_j z_{ij} = Z \sum_k x_{ki}, \text{ для всех } i \quad (9)$$

Существует несколько способов построения платформы IN, которые можно классифицировать следующим образом:

1. Полномасштабное классическое решение в виде отдельных архитектурных элементов: SSP, IP, SCP, SDP, SMP, SCEP. Данная распределенная архитектура IN является наиболее гибкой, но и наиболее дорогой.

2. Централизованная IN на базе интегрированных узлов: узла услуг SN или узла коммутации и управления услугами SSCP, которые совмещают в себе все необходимые функции (SSF, SRF, SCF и SDF) на единой платформе и являются независимыми и полностью автономными сетевыми элементами.

3. Промежуточные варианты между распределенной и централизованной архитектурой: часть функций реализуется в отдельных узлах, а часть совмещается в одном интегрированном узле. Наиболее часто совмещаются такие функции, как SSF и SRF, SCF и SDF.

В данной работе рассматриваются три варианта построения IN:

1. IN с распределенной архитектурой на базе узлов SSP, IP и SCP, функция SDF реализована в SCP.

2. IN с централизованной архитектурой, на базе узлов SN (SSCP), в которых интегрированы функции SSF, SRF, SCF и SDF.

3. IN на базе узлов SSP-IP и SCP, в которых интегрированы функции SSF, SRF и SCF, SDF соответственно.

Тогда в качестве дополнительных ограничений в случае распределенной архитектуры могут быть записаны следующие выражения:

$$\sum_i x_{ij} \leq v_{SSPj}, \text{ для всех } j, \quad (10)$$

$$\sum_i y_{ij} \leq v_{IPj}, \text{ для всех } j, \quad (11)$$

$$\sum_i z_{ij} + \sum_i u_{ij} \leq v_{SCPj}, \text{ для всех } j. \quad (12)$$

В случае централизованной архитектуры:

$$\sum_i x_{ij} + \sum_i y_{ij} + \sum_i z_{ij} + \sum_i u_{ij} \leq v_{SN(SSCP)j}, \text{ для всех } j. \quad (13)$$

В случае частично распределенной архитектуры:

$$\sum_i x_{ij} + \sum_i y_{ij} \leq v_{SSP-IPj}, \text{ для всех } j, \quad (14)$$

$$\sum_i z_{ij} + \sum_i u_{ij} \leq v_{SCPj}, \text{ для всех } j. \quad (15)$$

Рассмотрим сеть, в которой нагрузка на платформу IN поступает от пяти АТС ТФОП, а платформа IN содержит по 2 узла, выполняющих функции SSF, SCF/SDF и SRF (рис. 2). Исходные данные для задачи распределения нагрузки в данной сети приведены в табл. 1–2.

Таблица 1

Нагрузка, поступающая от АТС					X	Y	Z	U
λ_1	λ_2	λ_3	λ_4	λ_5				
10	12	8	9	13	1	3.5	6	1.1

Решение поставленной задачи оптимизации проводилось методами линейного программирования в программной среде MatLab. Результаты представлены на рис. 3–5 в виде найденных оптимальных вариантов распределения нагрузки между узлами интеллектуальной сети в случае классической распределенной (рис. 3), централизованной (рис. 4) и частично распределенной (рис. 5) архитектуры.

Как показано на рис. 1, в случае классической распределенной архитектуры запросы на интеллектуальные услуги от 1-й и 2-й АТС ТФОП направляются к первому SSP, от 4-й и 5-й АТС – ко второму SSP, а нагрузка, создаваемая 3-й АТС, делится между первым и вторым SSP в пропорции 5:3. Производительности второго узла IP недостаточно для обслуживания всей нагрузки, поступающей от второго узла SSP, поэтому часть запросов от данного SSP направляется для обслуживания в первый узел IP. Аналогичная ситуация наблюдается для первого узла SCP: нагрузка, поступающая от первого узла IP, делится между первым и вторым SCP, поскольку первый имеет недостаточную производительность.

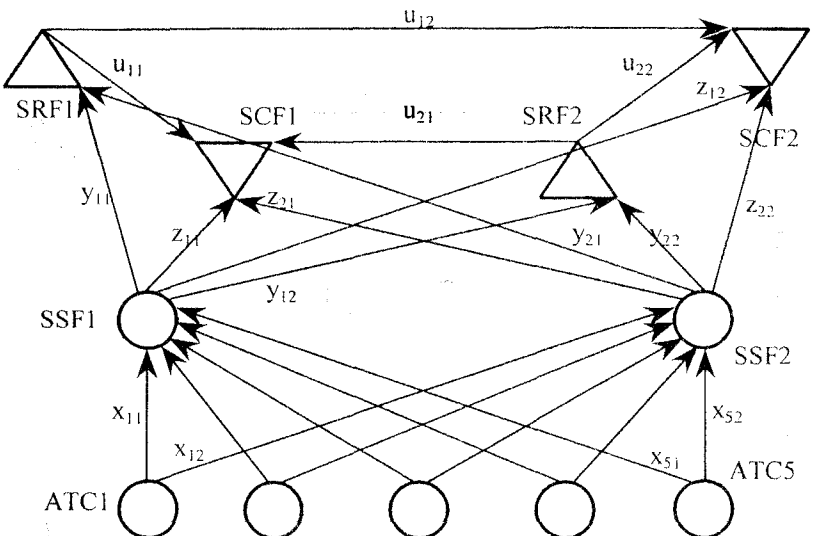


Рис. 2

Таблица 2

Исходные данные		Распределенная архитектура						Частично распределенная архитектура				Централизованная архитектура	
		SSP		IP		SCP		SSP-IP		SCP		SN (SSCP)	
Расстояние до ATC, км	№ ATC (узла IN)	1	2	1	2	1	2	1	2	1	2	1	2
	1	9	26	—	—	—	—	9	26	—	—	9	26
	2	11	25	—	—	—	—	11	25	—	—	11	25
	3	19	13	—	—	—	—	19	13	—	—	19	13
	4	17	9	—	—	—	—	17	9	—	—	17	9
	5	30	13	—	—	—	—	30	13	—	—	30	13
Расстояние до IP, км	1	4	14	0	—	6	19	0	17	5	22	0	17
	2	22	6	—	0	17	9	17	0	13	6	17	0
Расстояние до SCP, км	1	5	13	6	17	0	—	5	13	0	—	0	17
	2	22	6	19	9	—	0	22	6	—	0	17	0
Производительность узлов IN, транз./с	27	25	100	82	170	200	134	100	210	160	355	250	

На рис. 4 показано, что при частично распределенной архитектуре IN нагрузка от ATC ТФОП распределяется между интегрированными узлами SSP-IP так же, как и при классической архитектуре, за исключением того, что от 3-й ATC ко второму узлу SSP-IP еще меньшая доля вызовов. Интенсивность служебного информационного потока между первым и вторым SSP-IP составляет 0,98 транзакций в секунду и представляет собой поток запросов к ресурсам SRF, интегрированным в первый узел. Вся нагрузка, создаваемая первым и вторым SSP-IP, направляется к соответствующим узлам SCP.

Как показано на рис. 5, в случае централизованной архитектуры интеллектуальная надстройка состоит из двух узлов SN (SSCP), в которых интегрированы все необходимые функции. Первый SN обслуживает все запросы на интеллектуальные услуги, поступающие от 1-й, 2-й и 3-й ATC, и небольшую часть запросов, поступающих от 4-й ATC. Остальные запросы обслуживаются вторым SN. Все служебные информационные потоки локализованы внутри узлов.

Как показано на рис. 5, в случае централизованной архитектуры интеллектуальная надстройка состоит из двух узлов SN (SSCP), в которых интегрированы все необходимые функции. Первый SN обслуживает все запросы на интеллектуальные услуги, поступающие от 1-й, 2-й и 3-й ATC, и небольшую часть запросов, поступающих от 4-й ATC. Остальные запросы обслу-

живаются вторым SN. Все служебные информационные потоки локализованы внутри узлов.

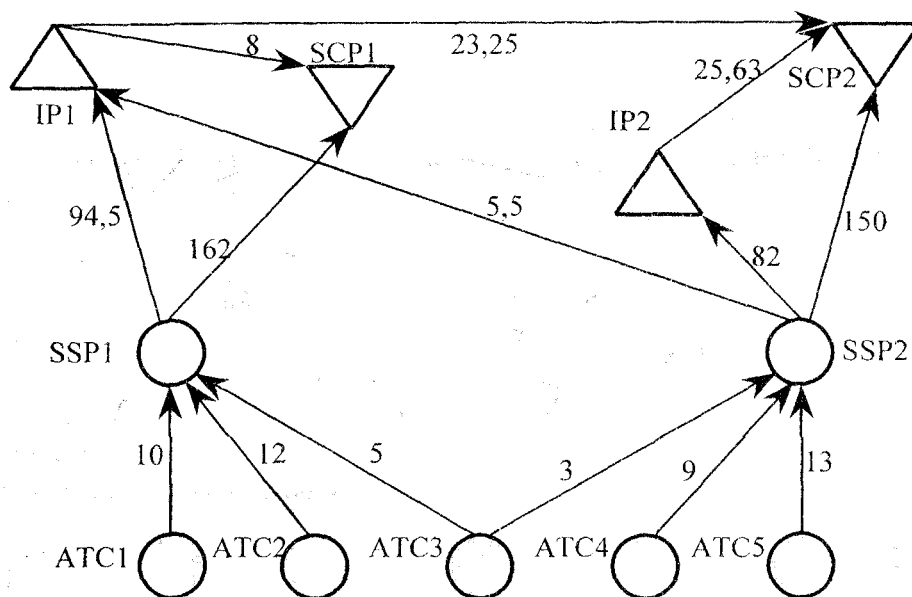


Рис. 3

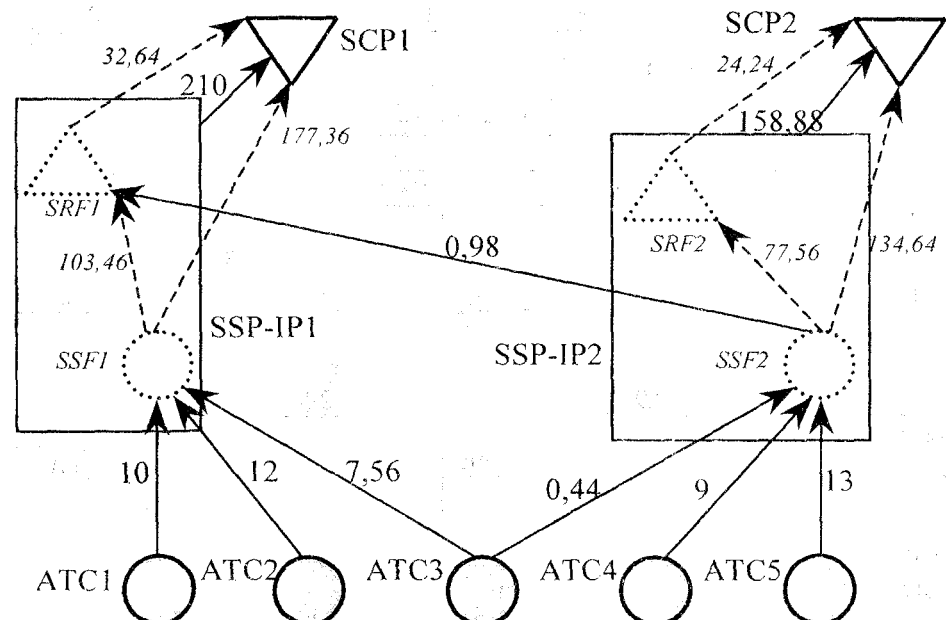


Рис. 4

Таким образом, представленный метод позволяет решить задачу распределения ресурсов интеллектуальной сети и распределения нагрузки между ее узлами. При решении данной задачи учитывается расстояние между узлами: запросы на интеллектуальные услуги и служебные сообщения направляются к ближайшим узлам с учетом их производительностей. Предложенный метод относится к методам управления нагрузкой внутри сети и не содержит механизмов борьбы с перегрузками в случае поступления нагрузки выше допустимого уровня – предполагается, что задача защиты от перегрузок решается методами управления нагрузкой на входе в сеть.

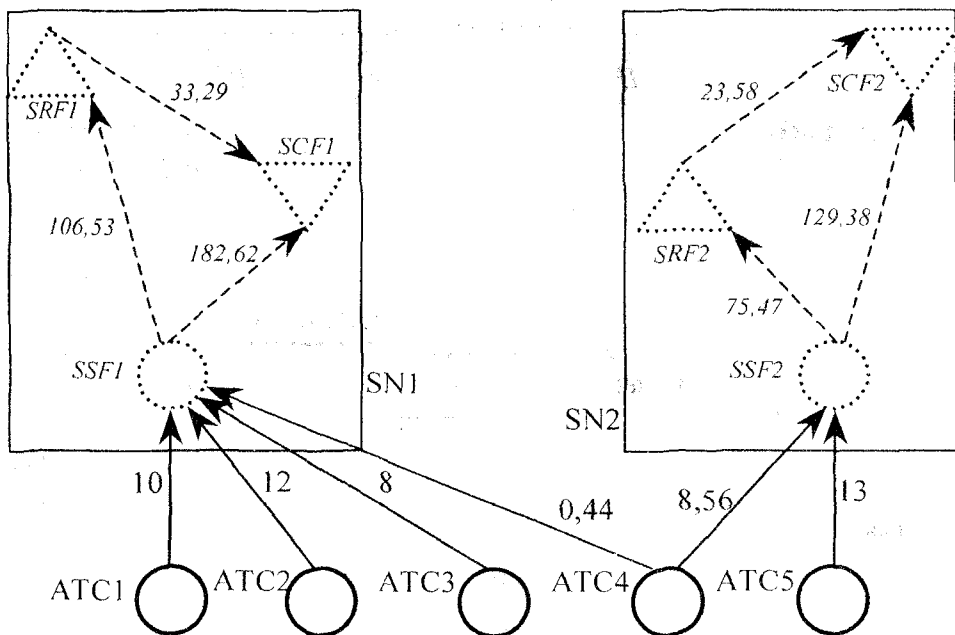


Рис. 5

Список литературы: 1. ITU-T. Recommendations Q.1200 –Q.1218. Helsinki, 1993. 2. Гольдштейн Б.С., Ехриль И.М., Рерле Р.Д. Интеллектуальные сети. М.: Радио и связь, 2000. 500 с. 3. Лихтциндер Б.Я., Кузакин М.А., Росляков А.В., Фомичев С.М. Интеллектуальные сети связи. М.: Эко-Трендз, 2000. 206 с. 4. Wellman M.P. A market oriented programming environment and its application to distributed multicommodity flow problems // Journal of Artificial Intelligence Research. 1993. №1. С. 1–23. 4. Кучерявый А.Е., Миков А.С., Ревелова З.Б., Парамонов А.И. Характеристики нагрузки интеллектуальной сети // Электросвязь. 2000. № 11. С.7-9. 5. Коваленко Т.Н. Расчет нагрузки в интеллектуальной сети // Радиотехника: Всеукр. межвед. науч.-техн. сб. 2001.

Харьковский национальный
университет радиоэлектроники

Поступила в редакцию 02.12.2005